

# 超音波探傷에서의 感度差 測定 研究

정용무, 안희성, 이연필

韓國 에너지 研究所  
(1982年 6月 17日 接受)

## Study on the Sensitivity Difference Measurement by Ultrasonic Testing

Yong-Moo Chung, Hee-Sung Ann, and Yun-Peel Lee

Korea Advanced Energy Research Institute

(Received; June 17, 1982)

### Abstract

Experiments were performed according to ultrasonic attenuation measurement and comparison method of DAC curve to analyze the difference between PSI and 2nd ISI ultrasonic testing results.

Smaller error was found by comparison method of DAC curve, and that method was more useful practically.

### 1. 序 論

1981年 古里 原子力発電所 1号機의 第 2次 稼動中検査의 일환으로 原子炉 Outlet Nozzle-to-Shell weld에 對해 遠隔 自動 超音波裝備에 依한 超音波探傷을 遂行하였다. 원래 이 部位는 1977年에 遂行된 稼動前 檢査에서 記録할 만한 지시가 発見되어서 논란이 있었던 部位이나 本 稼動中 檢査에서는 이런 심각한 지시를 発見치 못하였으며 무시할 만한 지시 1個만을 탐지하였다. 즉 같은 檢査部位에 對한 두 檢査結果間에 상당한 차이가 発生하였으며 이런 차이가 発生한 原因을 밝히기 为解 超音波補正試験片의 감도 차이에 對한 実驗과 그밖의 檢査方法에 對한 고찰을 遂行하였다.

### 2. 稼動前検査와 稼動中検査의 比較

稼動前検査에 使用한 超音波補正試験片과 稼動中検査에 使用한 超音波補正試験片의 차이는 표 1과 같다.<sup>1)</sup>

表1. 超音波補正試験片의 比較

	가동전검사제작 시 험 판	가동중검사제작 시 험 판
1. 재료	SA533 GRADE B	SA 508 CLASS II HEAT No. 218993
2. HOLE DIA	9.5mm $\phi \pm 0.1$ 판 통 형	0.375 INCH $\phi$ (9.5mm) $\pm 0.005$ DRILLED 4INCH (101.6mm) DEEP
3. CLAD두께	6.4mm	6.4mm AFTER FINAL MACHINING
4. CLAD표면	400mm R의 곡면	평 면
5. HOLE배치	3개 HOLE이 표면 에서 수직으로 일자 배치됨.	3개 HOLE이 표면과 수평방향으로 약60mm 간격으로 배치됨.

稼動前 檢査方法과 稼動中 檢査方法 間의 차이는 表2와 같다.<sup>2)</sup>

表2. 檢査方法의 比較

	가동전 검사	가동중 검사
장비	MHI의 UT MACHINE	MODIFIED PAR
탐상방식	수침법	직접 접촉법
기록방식	C-SCAN DISPLAY	A-SCAN DISPLAY
탐상각도	30° L	10° L
대비시험편	UFZ 0002-01	NS-CSCL-18-KORI HT. 218993
탐촉자	2.25MMz 직경38mm	2.5MMz 직경25mm

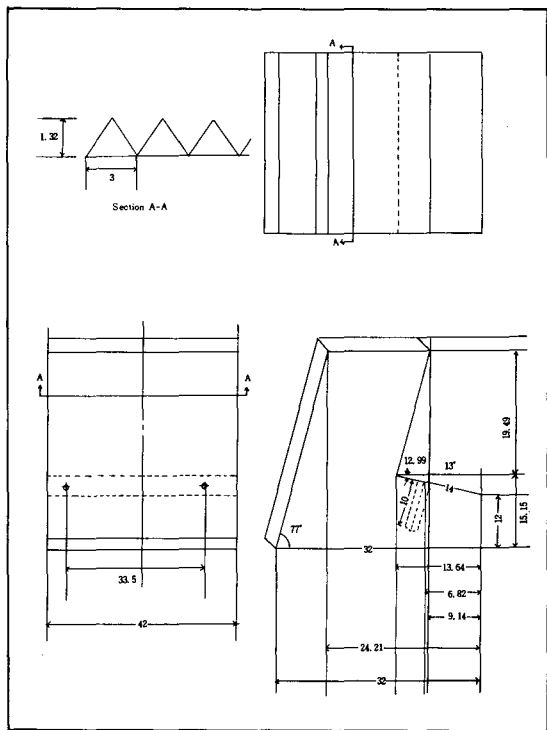
稼動前検査에서 6° Nozzle Azimuth 位置에서 100% DAC를 넘는 지시가  $35 \times 15\%$ 로 나타났는데 이것은 稼動中検査에서 14% DAC 지시로 나타났다. 이 두 檢査間의 檢査 感度는 약 20dB 정도의 차이가 난다.<sup>2), 3)</sup> 稼動中検査에 使用된 超音波補正試験片은 SA-508 CL 2 合金鋼으로 이는 단조품이며 稼動前検査에 使用된 超音波補正試験片은 SA-533, GRB 合金鋼으로 주조품이다. 実際 原子炉 Nozzle 部位는 SA-508, CL 2 材質이지만 SA-533, GRB 材質 亦是 관련 code의 要求事項에는 위배되지 않는다.<sup>4), 5), 6), 7)</sup> 超音波補正試験片의 材質이 相異할 때 超音波探傷 感度에 差異가 생기는 原因은 여러가지가 있겠다. 특히 결정조직이 다를 때 散乱과 吸收에 따른 超音波의 減衰는 상당히 달라진다. 주조품은 단조품에 비해 結晶粒이 一般的으로 粗大하다. 이런 材質 속을 超音波가 伝送할 때는 結晶粒子에 依해 超音波가 散乱되기 쉽다.<sup>8), 9), 10)</sup> 原子炉 Nozzle 部位의 材料는 단조한 材料이므로 稼動前検査時 使用한 plate材料보다는 훨씬 음향 감쇄가 낫을 가능성이 있다. 이에 비추어 稼動前検査時에는 규정 探傷감도 보다 훨씬 높은 감도로 탐상했을 가능성이 있다.

### 3. 實驗

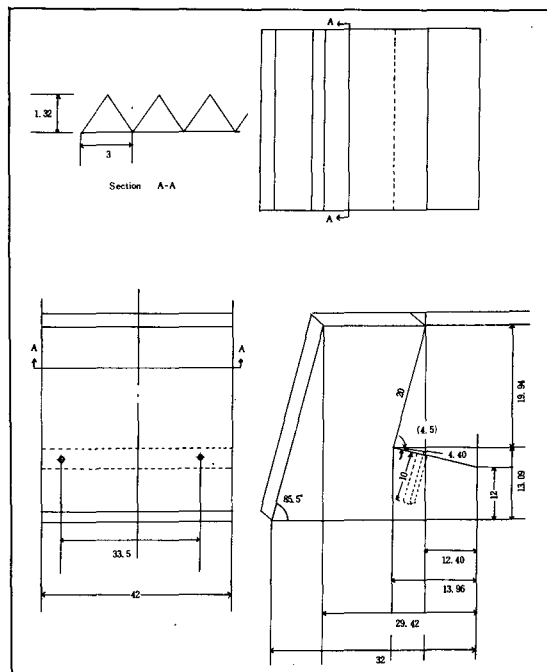
#### 3.1 超音波探触子 wedge의 設計 및 製作

稼動前検査時의 대비試験과 稼動中検査時의 대비試験을 再現하기 为해 10° 종파용 wedge와 30° 종파용 wedge를 製作하였다. Wedge의 設計에는 wedge 表面에서 반사해서 wedge 内部를 돌아다니는 beam의 제거에 특별한 고려를 하여 반사 기능면은 모두 흡을 파서 beam이 소산되도록 設計하였다. 그리고 探触子의 holder를 특별히 設計하여 어떠한 探

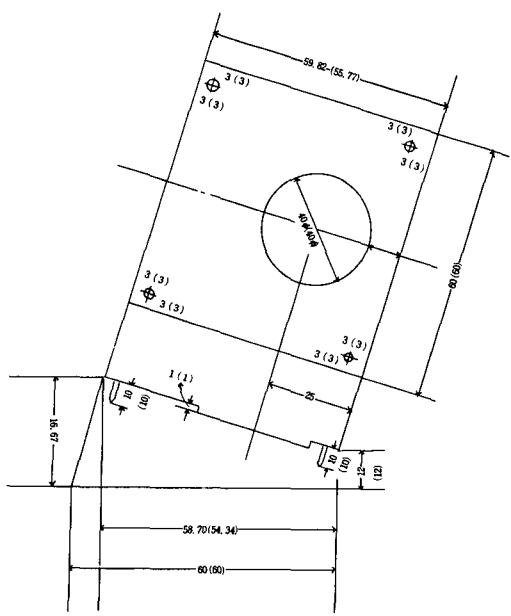
触子라도 이에 맞도록 고안하였다. 자세한 設計図面은 그림 1과 같다.



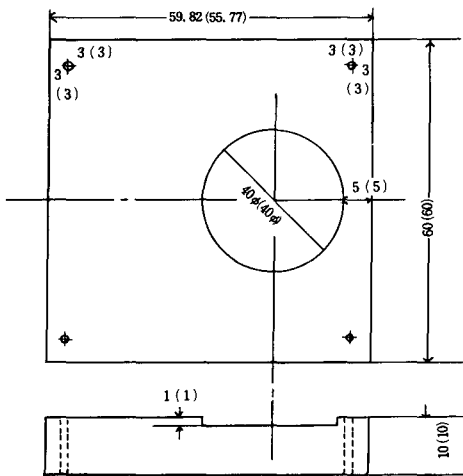
a) 10° L wave wedge



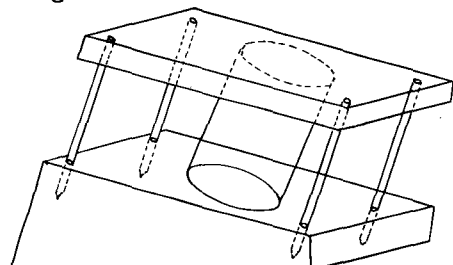
b) 30° L wave wedge



c) 원형 探触子를 為한  $10^{\circ}$  L wave wedge



d) 원형 探触子를 為한  $10^{\circ}$  L 및  $30^{\circ}$  L wave wedge of holder



e) 원형 探触子를 wedge에 장착時의 조립도  
그림 1. 超音波 探触子 wedge의 設計

### 3.2 減衰実験

本 実験을 為해 Sonic MKI (Pulse-echo, A-scan) 探傷器를 使用하였으며 探触子로는 Sonic  $0.5 \times 1.0''$  A45 (2.25MHz)와 MWB45-N 4 ( $8 \times 9\%$ , 4 MHz), 探触面질로는 물을 使用하였다. 관현 code에서 要求하는 각종 探傷器의 성능実験을 마친 후<sup>4), 5), 6)</sup> 減衰実験을 실시 하였는데 먼저 探触子를 探傷器에 연결한 뒤 기준 試験片으로 거리 補正을 마친다. 그뒤 探触子를 超音波補正試験片에 접촉하여 조탐상을 실시한다. 試験片의  $1/4$ T hole을 CRT 上에 나타나게 한 뒤 이 에코가 最大가 되도록 미조정 한다. gain 을 조정하여 CRT 上의 에코 높이가 80% FSH 에 오도록 조정하여 그 位置를 表示한다. 이 상태에서  $1/2$ T hole 및 그 밖의 hole에 대해 그 에코 높이를 表示한다. 上記 方法을 超音波補正試験片 UFZ-00 02-01 및 IR-CSCL-19-KORI에 대해 똑같이 적용한다.

### 3.3 대비시험

本 実験을 為해 Sonic MKI 探傷器를 使用하였으며, 探触子는 Sonic  $0^{\circ} 0.5 \times 1''$  (1 MHz, 2.25MHz), Sonic  $0^{\circ} 1''$  Rd (1 MHz), Sonic  $0^{\circ} 0.75''$  Rd (2.25MHz, 5 MHz)을 使用하였고 探触面질로는 SA E20 oil을 使用하였다. 굴절각은  $10^{\circ}$  L wedge와  $30^{\circ}$  L를 각 探触子에 장착하여 超音波補正試験片 UFZ-0002-01과 NS-CSCL-18-KORI의 각각에 대해 대비시험을 遂行하였다. 試験方法은 減衰実験 때의 方法과 同一하게 하였으며, 덧붙여  $1/4$ T hole에서 나오는 최대 에코를 50% FSH에 오도록 gain을 조정하여 나머지  $1/2$ T 및  $3/4$ T hole에 대해서도 같은 方法으로 수행하였다. 積動前検査 時에는 約 200%의 물거리를 유지시켜 檢査하는 수침법을 使用하였으나<sup>1)</sup> 本 実験은 直接接触法으로 대처하였다. 그러나 수침법 적용시에 물거리에 의한 음향감쇄 效果는 대비시험시와 실제 탐상시가 同一한 조건이므로 상쇄될 수 있다.

## 4. 実験結果

### 4.1 減衰実験

減衰実験의 結果를 要約하면 表3 및 表4와 같다. 積動中検査試験片인 IR-CSCL-19-KORI 試験片에 대해  $45^{\circ}$  MWB45-N 4 超音波 探触子의 減衰定数

는 約 0.101dB/mm 이었고 이 값을 稼動前検査試験片  
인 UFZ-0002-01의 212.1% hole 까지 연장 계산하  
면 약 87.9dB가 된다. 이에 반해 UFZ-0002-01 試  
験片은 101dB 로써 약 13dB 정도 減衰가 심하다.  
같은 方法으로 495% hole에 対해선 116.5dB 로써  
UFZ-0002-001 試験片의 110dB에 비해 오히려 6dB  
정도 減衰가 떨어졌다.

表3. IR-CSCL-19-KORI 試験片에 対한 結果

TRANSDU-CER	DISTANCE (MP)	GAIN	% FSH	HOLE DIA
SONIC S782403	37.75mm	72dB	80	6.4mm
	71.83mm	72dB	40	"
	45°	72dB	55	"
MWB45-N4	37.75mm	70dB	80	"
	71.83mm	70dB	40	"
	45°	70dB	28	"

表4. UFZ-0002-01 試験片에 対한 結果

TRANSDU-CER	DISTANCE (MP)	GAIN	% FSH	REFLECTOR DIA.
MWB45-N4	212.1 mm	101dB	80%	9.5 mm
	495 mm	101dB	30%	"

#### 4. 2 대비실험

대비실험의 結果를 要約하면 表5 및 表6과 같다.  
UFZ-0002-01과 NS-CSCL-18-KORI 試験片의 1/4  
T hole의 metal path가 비슷(各各 5.5"와 5.25") 하  
였으므로 稼動前検査와 稼動中検査時 使用된 같은  
주파수에 대해 직접 比較가 가능하였다. 表5에 따  
라 14dB와 2dB의 감도 차이를 보였다. 한편 表6  
의 DAC 曲線의 比較를 보면 주파수 2.25MHz에 대  
해 12dB와 8dB의 감도 차이가 나타났다. 따라서 稼  
動前検査와 稼動中検査時의 대비실험과 가장 근접한  
데 이타에서 稼動前検査時 약 10dB 정도의 감도가  
높은 상태에서 試験했음이 판정되었다.

表5. 50% FSH時 gain상태

TRANSDUCER	HOLE	UFZ 0002-01	NS-CSCL-18-KORI
0.5" × 1" 1MHZ	1/4 T	67 dB	64 dB
	1/2 T	73 dB	71 dB
	3/4 T	-	NOT APPEAR
0.5" × 1" 2.25MHZ	1/4 T	69 dB	55 dB
	1/2 T	75 dB	69 dB
	3/4 T	-	84 dB
1" Rd 1MHZ	1/4 T	72 dB	73 dB
	1/2 T	91 dB	76 dB
	3/4 T	-	88 dB
0.75" Rd 5 MHZ	1/4 T	84 dB	74 dB
	1/2 T	99 dB	82 dB
	3/4 T	-	85 dB
0.75" Rd 2.25MHZ	1/4 T	74 dB	72 dB
	1/2 T	91 dB	73 dB
	3/4 T	-	83 dB

表6. 대비시험 기록 DAC 曲線 比較

TRANSDUCER	MHI UFZ 0002-01	SWRI NS-CSCL-18-KORI
0.5" × 1" 1 MHZ	74 dB	70 dB
0.5" × 1" 2.25MHZ	74 dB	62 dB
1" Rd 1 MHZ	77 dB	70 dB
0.75" Rd 5 MHZ	87 dB	80 dB
0.75" Rd 2.25MHZ	79 dB	71 dB

#### 5. 結論 및 考察

減衰実験을 通해 정량적인 結果를 얻기는 곤란하  
였고 대비실험을 통하여 稼動前検査時에 더 높은 感  
度로 超音波探傷을 하였다는 정성적인 結果를 얻을  
수 있었다. 超音波 感度 差異를 추정하기 위해 서는  
検査方法, 使用된 裝備 및 超音波補正試験片의 材質  
等을 면밀히 檢討하여야 된다는 事實이 再確認되었  
다.

## 参考文献

- 1) PSI Records and 2nd ISI Records
- 2) KO-RI-1 RV PSI Ultrasonic Indication Evaluation, NUS-1846A
- 3) Audit of KO-RI-1 Pressure Vessel Nozzle Weld, NUS-1846, Rev 1
- 4) ASME B & PV Code, Section III, 1968 Edition and 1971 Edition
- 5) ASME B & PV Code, Section XI, 1971 Edition and 1977 Edition
- 6) ASME B & PV Code Section V, 1977 Edition
- 7) US. 10CFR 50. 55a
- 8) Metals Hand book, 8th Edition, Vol II pp 161~198 "Ultrasonic Inspection"
- 9) 超音波探傷試験 B, NDI 1968Ed
- 10) Ultrasonic Testing of Materials, 2nd Edition PP107~118, Krautkrämer